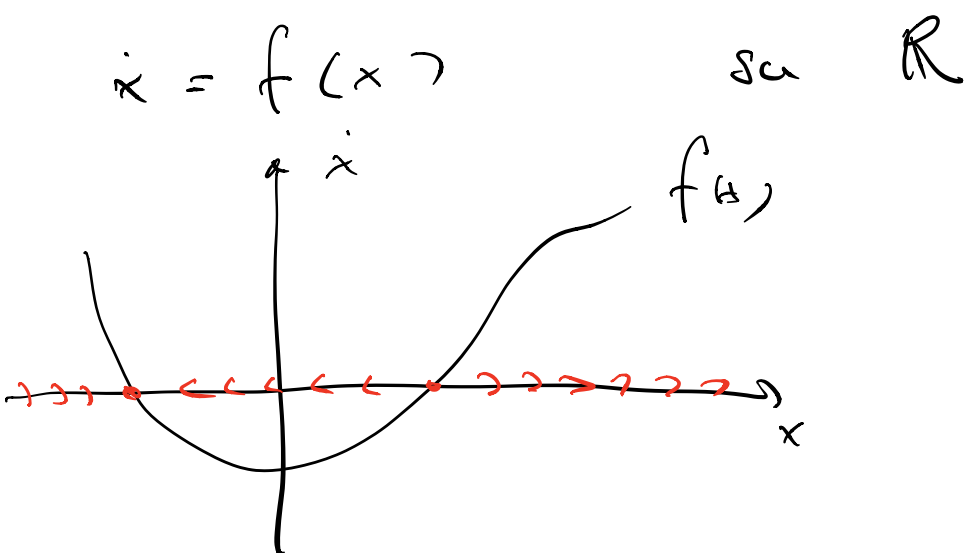


SISTEMI DINAMICI

22 marzo 2021

Sistemi dinamici 1 - din



$$x^* \text{ t.c. } f(x^*) = 0 \text{ + costante}$$

B: funzioni : $\dot{x} = f(x; p)$

$$f(x^*; p^*) = 0 \quad (x^*, p^*)$$

• $\frac{\partial f}{\partial x} \Big|_{(x^*, p^*)} \neq 0 \rightarrow$ punto fijo iperbólico

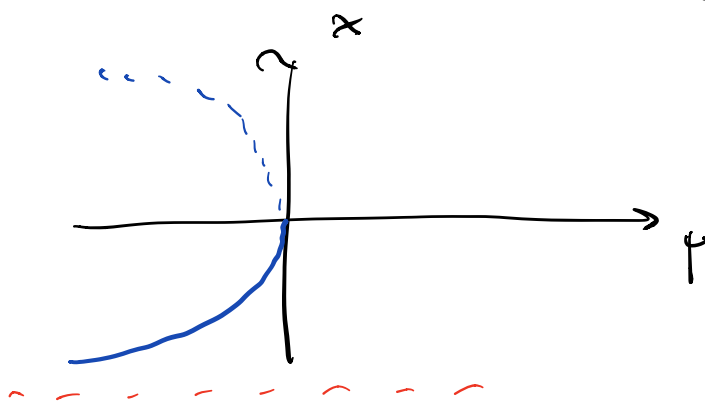
$$\rightarrow x(p) \quad \underbrace{f(x(p), p)}_{=0}$$

Variando de $f(x; p)$

$$\frac{\partial f}{\partial x} \int_{(x^*, p^*)} = 0$$

punto fisso con iperbole

Biforcazione Tangente



$$\begin{aligned} \text{Tangente} & \left. \frac{dp}{dx} \right|_{x=0} = 0 \\ \left. \frac{d^2p}{dx^2} \right|_{x=0} & \neq 0 \end{aligned}$$

giacce do in lob
di $\underline{p=0}$

$$\left. \begin{array}{l} \text{Tipo } \underline{x^2} \rightarrow \frac{dx}{dt} = 0 \\ 2 > 0 \end{array} \right)$$

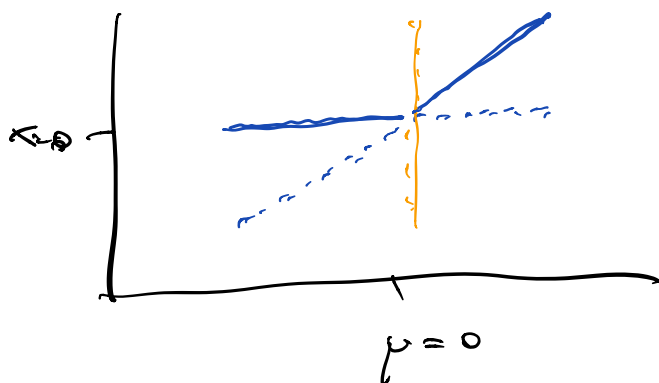
$$\left. \frac{d^2p}{dx^2} \right|_{x=0} \neq 0$$

punto critico
con iperbole

$$\left. \frac{df}{dp} \right|_{(0,0)} \neq 0$$

$$\left. \frac{\partial^2 f}{\partial x^2} \right|_{(0,0)} \neq 0$$

Biforcazione Frangibile



1. due curve di punti fissi parabolici per $\underline{p=0}$
2. da centro: lob:
3. stabilità cambia

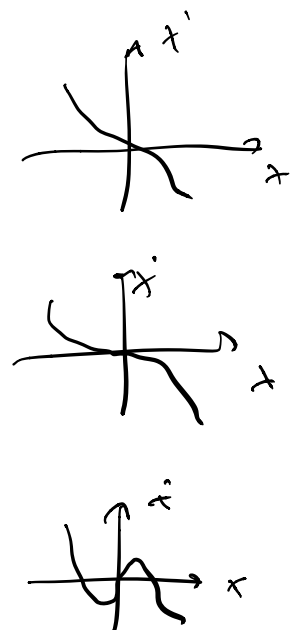
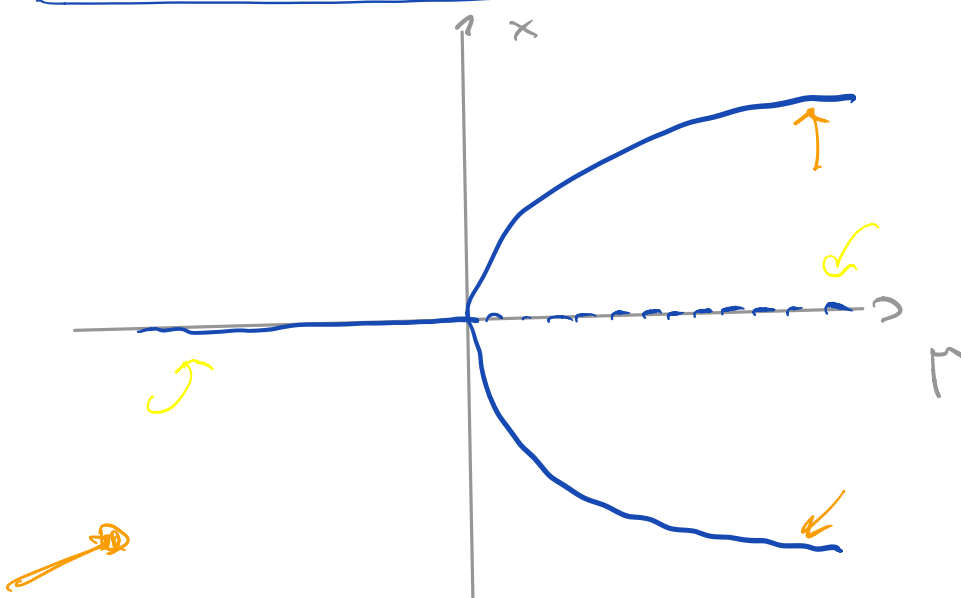
Punti critici non-iperbolici

$$\left| \frac{\partial f}{\partial p} \right|_{(0,0)} = 0 \quad \left| \frac{\partial^2 f}{\partial x^2 p} \right|_{(0,0)} \neq 0, \quad \left| \frac{\partial^2 f}{\partial x^2} \right|_{(0,0)} \neq 0$$

la soluzione dell' orbita vicino a $(0,0)$, è data dalle forme normale

$$\dot{x} = p x \pm x^2 \approx f(x; p)$$

Biforcazione a forchetta



1. due curve di punti fissi che passano per $(p, x) = (0,0)$, cioè $\begin{cases} x=0 \\ p=x^2 \end{cases}$
2. $x=0$ erida su entrambi i lati di $p=0$
 $p=x^2$ u da un lato solo
3. punti fissi su $x=0$ cambiano di

Stabilità, su $\mu = x^2$ no.

Come d'abito: $\dot{x} = f(x; \mu)$ con

$$f(0,0) = 0 \quad \frac{\partial f}{\partial x} \Big|_{(0,0)} \approx 0 \quad \begin{array}{l} \text{punti} \\ \text{fissi} \\ \text{iperbolico} \end{array}$$

Vogliamo due curve di punti fissi che si intersecano \rightarrow deve essere

$$\frac{\partial f}{\partial \mu} \Big|_{(0,0)} = 0 \quad \left(\text{altrimenti, il grafico della funzione} \right. \\ \left. \text{replicerebbe un'infinità di curve} \right)$$

Siccome vogliamo le curve $x=0$,

possiamo assumere

$$\dot{x} = f(x; \mu) = x F(x; \mu)$$

$$F(x, \mu) = \begin{cases} \frac{f(x; \mu)}{x} & x \neq 0 \\ \frac{\partial f}{\partial x} \Big|_{(0, \mu)} & x = 0 \end{cases}$$

Se vogliamo una seconda curva per $(0,0)$,

$$F(0,0) = 0, \text{ ma } \frac{\partial F}{\partial \mu} \Big|_{(0,0)} \neq 0$$

$\frac{\partial F}{\partial \mu} \Big|_{(0,0)} \neq 0 \Rightarrow$ per il Teorema funzionale
implica che F ha solo
una curva per $(0,0)$

$\hookrightarrow \mu^*(x)$ tale che $F(x, \mu^*(x)) = 0$
come nel caso della biforcazione
Tangente, vogliamo che $\mu^*(x)$ obbedisca

$$\frac{d\mu^*(x)}{dx} \Big|_0 = 0 \quad , \quad \frac{d^2\mu^*(x)}{dx^2} \Big|_0 \neq 0$$

Stesse condizioni della biforcazione

Tangente, ma per F (non per f)

$$\frac{d\mu}{dx} \Big|_0 = \frac{-\frac{\partial F}{\partial x} \Big|_{(0,0)}}{\frac{\partial F}{\partial \mu} \Big|_{(0,0)}} = 0 = \frac{-\frac{\partial f}{\partial x^2} \Big|_{(0,0)}}{\frac{\partial^2 f}{\partial x^2 \partial \mu} \Big|_{(0,0)}}$$

visto nel
caso delle biforcazioni
transcritiche

$$\frac{d^2\mu}{dx^2} \Big|_0 = \frac{-\frac{\partial^2 F}{\partial x^2} \Big|_{(0,0)}}{\frac{\partial F}{\partial \mu} \Big|_{(0,0)}} \neq 0 = -\frac{\frac{\partial^3 f}{\partial x^3} \Big|_{(0,0)}}{\frac{\partial^2 f}{\partial x^2 \partial \mu} \Big|_{(0,0)}}$$

visto per
biforcazione Tangente, ora per F

Per riassumere, le condizioni sono

$$\left\{ \begin{array}{l} f(0,0) = 0 \\ \frac{\partial f}{\partial x}(0,0) = 0 \end{array} \right.$$

per fare una iperbole

con

$$\frac{\partial f}{\partial x}(0,0) = 0$$

$$\frac{\partial^2 f}{\partial x^2}(0,0) \approx 0$$

$$\frac{\partial^2 f}{\partial x \partial y}(0,0) \neq 0$$

$$\frac{\partial^3 f}{\partial x^3}(0,0) \neq 0$$

La struttura è qualitativamente la stessa che per la linea normale

$$\dot{x} = \mu x + x^3$$



Seconda parte

Affermiamo visto $\dot{x} = f(x; \mu)$ in alcuni

caso

$$\dot{x} = f(x; \mu_1, \dots, \mu_m)$$

Biforcazione imperfetta

Studiando $\dot{x} = h + \varepsilon x - x^3$

Notiamo

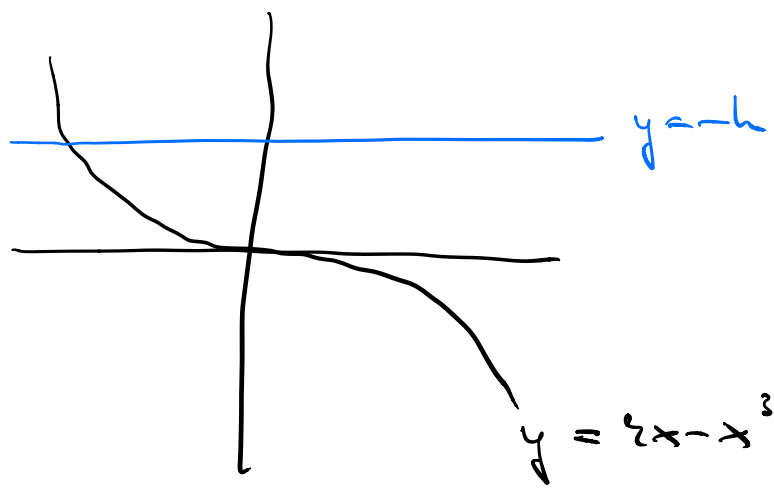
$h = 0 \rightarrow$ biforcazione - forchette
($x \leftrightarrow -x$)

$h \neq 0 \rightarrow$ queste si chiamano "volte"

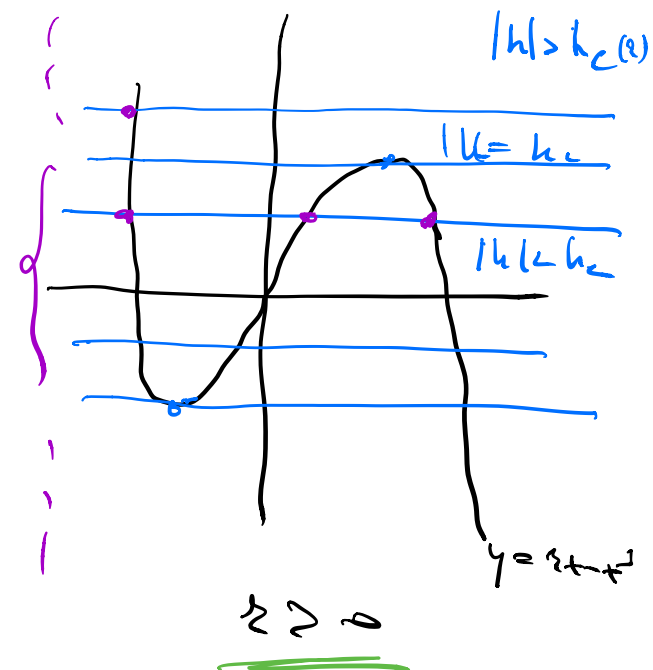
Più complicate \rightarrow due parametri

Punti fixi $x = h + \epsilon x - x^3$

Approssimazione grafica \rightarrow



$$\epsilon \leq 0$$



Vogliamo questo h_c

max dello cubico : $\frac{d}{dx} (\epsilon x - x^3) =$
 $= \epsilon - 3x^2 = 0$

$$x_{\max} = \sqrt{\frac{\epsilon}{3}}$$

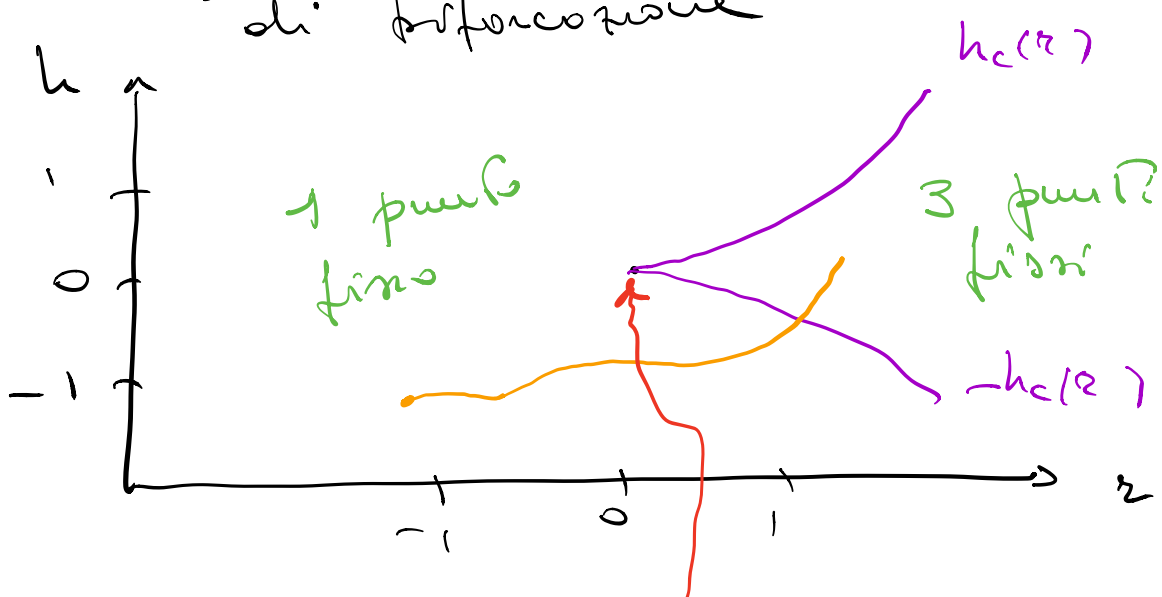
$$\text{Al max} \quad z \cdot x_{\max} - (x_{\max})^3 = \frac{2z}{3} \sqrt{\frac{z}{3}}$$

$$h_c(z) = \frac{2z}{3} \sqrt{\frac{z}{3}}$$

- 3 punti critici per $|h| < h_c(z)$
- 2 punti critici per $|h| > h_c(z)$

Cerco nel piano (h, z)

di biforcazione

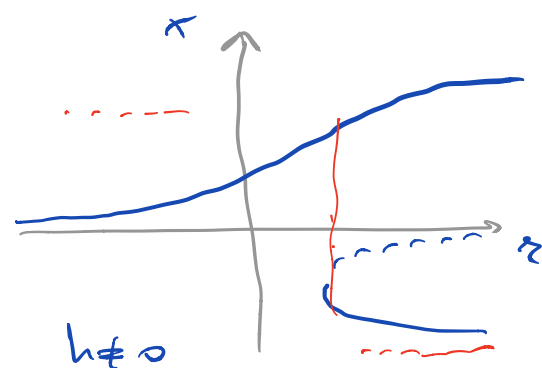
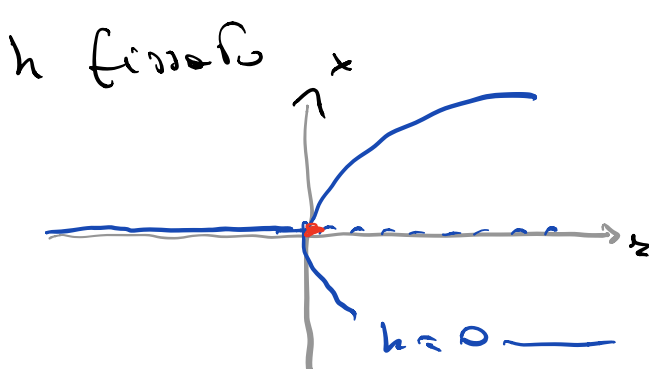


le due curve $\pm h_c(z)$

si incontrano Tangentissime $(0,0)$

dove c'è una cuspide

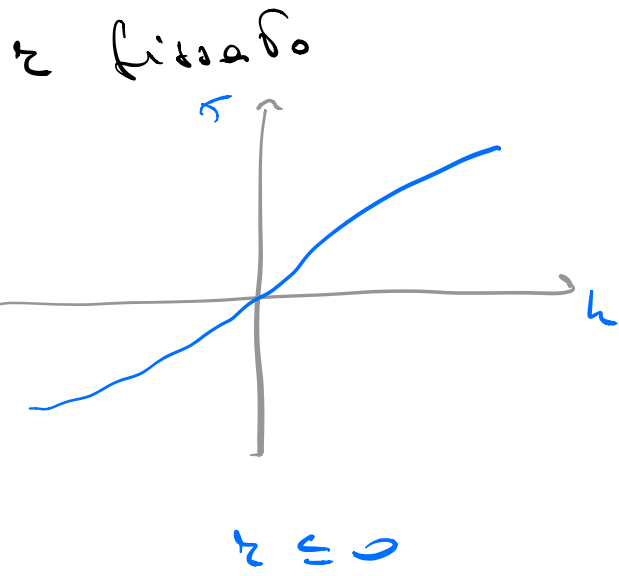
Guardiamo la situazione a h, z fissi:



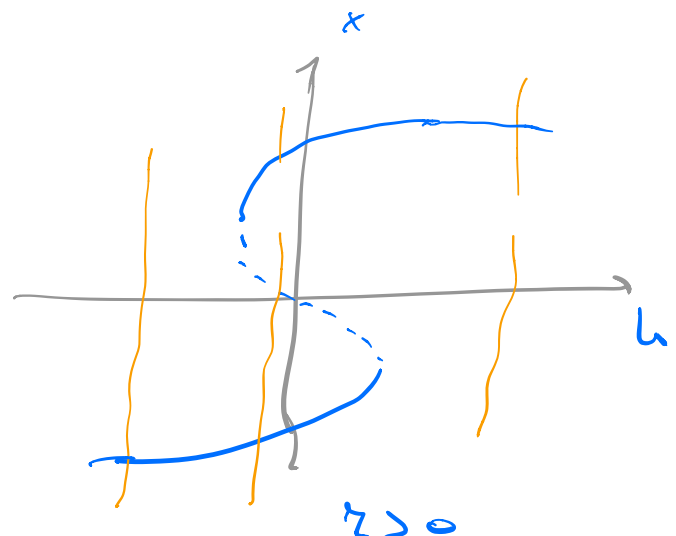
$$x = h + \alpha z - x^3$$

\uparrow
 $h=0$

$$h + x t - x^3$$

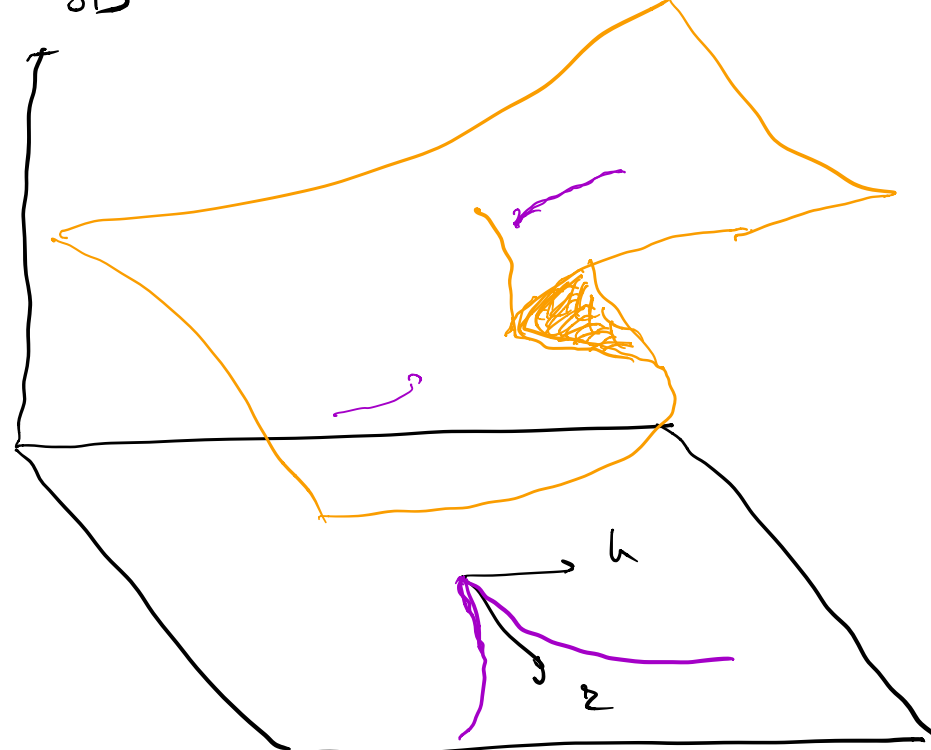


un punto fijo
stable $\forall h$



3 punti fissi
quando $h < h_c(1)$,
altrimenti un
punto fisso solo

In 3D



"catastrofe
di tipo
cuspide"

[STROGATZ 2 "Nonlinear dynamics
and Chaos"]

Flessioni sul cerchio

$$\dot{x} = f(x)$$

\propto ρ volum
 \propto R

$$\dot{\theta} = f(\theta)$$

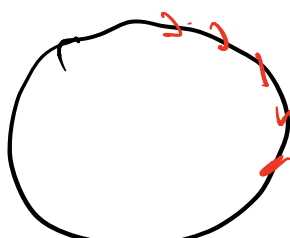
θ or velocity
in S'

In questo caso
 f (regolare) è
 periodica
 $f(\theta + 2\pi) = f(\theta)$

campos vetrinari
e locali in vetrine
e ad ogni punto altri R

$$f(\tau) = \frac{d}{d\tau} \varphi_\delta(\tau)$$

coenzo vettoriale
associazione vettoriale
ad ogni punto
di S'



$$\frac{E_{\text{sempre}}}{\text{ }} \quad \dot{\theta} = \sin \theta$$

Punti fissi

$$\theta^* = 0, \theta^* = \pi$$

stabile

$$\theta^* = \pi$$

instabile

$$\theta^* = 0$$

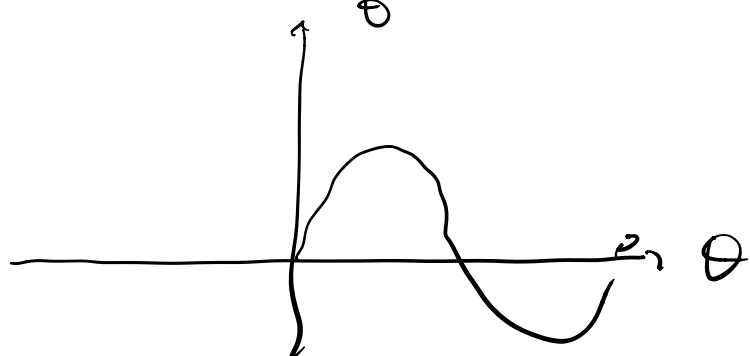
$$f'' = 0$$

instabile

semicirconie superiore $\sin \theta > 0$

u

inferiore $\sin \theta < 0$

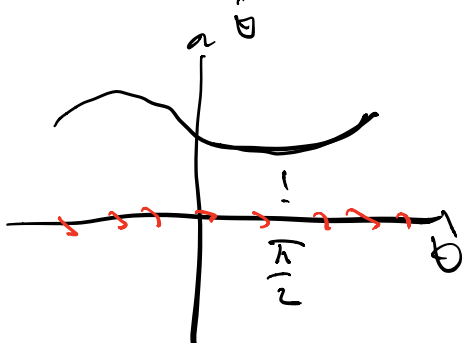


Esempio : $\dot{\theta} = \omega$ costante

$$\rightarrow \theta(t) = \omega t + \theta_0$$

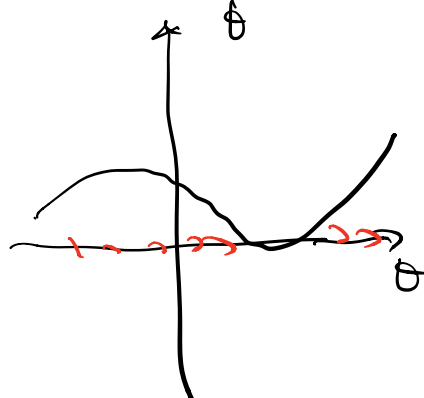
Soluzione periodica di periodo $T = \frac{2\pi}{\omega}$

Esempio : $\dot{\theta} = \omega - \alpha \sin \theta$

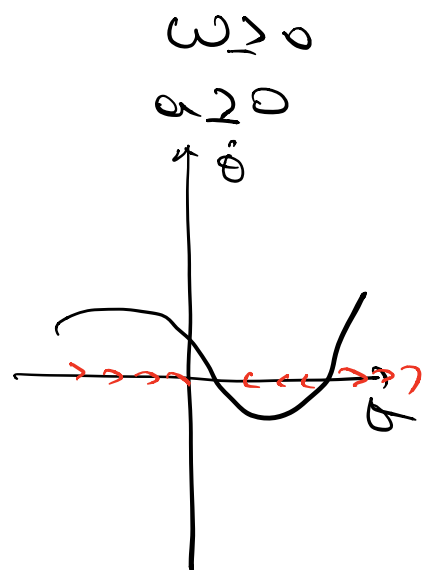


$$\alpha < \omega$$

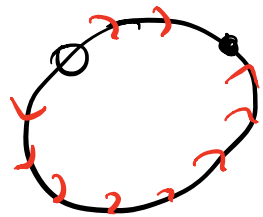
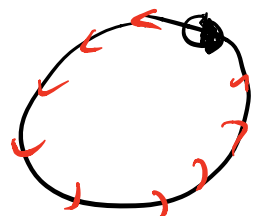
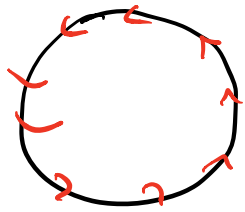
(quando $\sin \theta \in (-1, 1)$)



$$\alpha = \omega$$



$$\alpha > \omega$$



↑

Per $\alpha < \omega$ ci sono oscillazioni, di periodo

$$T = \int d\tau = \int_0^{2\pi} \frac{dt}{d\theta} d\theta = \int_0^{2\pi} \frac{d\theta}{\omega - \alpha \sin \theta} =$$

$$\rightarrow \frac{2\pi}{\sqrt{\omega^2 - \alpha^2}}$$

Cambiando lo topologo della ipota
delle fasi : $R \longrightarrow S'$, puoi
trovare oscillazioni.